

สำนักหอสมุด มหาวิทยาลัยบูรพา
ต.แสนสุข อ.เมือง จ.ชลบุรี 20131

102

รายงานโครงการวิจัย

เรื่อง

การแยกบริสุทธิ์สารในกลุ่ม Polyphenols จากมะเเฒ่าและ
ศึกษาความสามารถในการต้านออกซิเดชั่นและการต้านมะเร็ง

บัณฑิตเอกโทองคมนตรี

ภาคตะวันออก

โดย

ดร. สำรี มั่นเขตต์กรณ์

๒๘ ส.ค. 2545

๗๐ ๑๑ ๑๙๐๓

156150

หน่วยวิจัย Physical Chemistry Molecular and Cellular Biology
คณะวิทยาศาสตร์ มหาวิทยาลัยบูรพา อำเภอเมือง จังหวัด ชลบุรี

งานวิจัยนี้ได้รับเงินสนับสนุนจากเงินงบประมาณแผ่นดินประจำปี 2543

คำขอบคุณ

งานวิจัยนี้ได้จัดทำขึ้นที่ห้องปฏิบัติการ Physical Chemistry Molecular and Cellular Biology คณะวิทยาศาสตร์ มหาวิทยาลัยบูรพา โดยได้รับเงินสนับสนุนจากเงินงบประมาณแผ่นดินประจำปี 2543

ขอขอบคุณผู้ร่วมที่วิจัยดังมีรายนามต่อไปนี้

1. นางสาว วิภาวี แจ้สว่าง
2. นางสาวจิตชนนี มะลิซ้อน
3. นายมนตรี ตั้งใจ
4. นายสุชาติ โกทัศน์
5. ผ.ศ. จันทวรรณ แสงแข

บทสรุป

สารสกัดในกลุ่ม polyphenol จากเนื้อไม้มะเเฒ่ามีฤทธิ์ต้านมะเร็งเม็ดเลือด K562 และ มะเร็งปอด GLC4 ทั้งในชนิดที่ดื้อยาและไวต่อยา และสามารถกำจัด ROS ที่มากเกินไปในไมโทคอนเดรียได้โดยทำให้ความต่างศักย์เมมเบรนของไมโทคอนเดรียเพิ่มขึ้น สัมพันธ์กับจำนวน เซลล์ตายที่ลดลง เซลล์มะเร็ง K562 และ GLC4 มีความไวต่อภาวะ oxidative stress ไม่เท่ากัน เซลล์มะเร็ง K562 ทนต่อภาวะ oxidative stress ได้ดีกว่า เซลล์มะเร็ง GLC4 และโมเลกุล apigenin สามารถกำจัด ROS ในเซลล์มะเร็ง GLC4 ได้ดีกว่า เซลล์มะเร็ง K562 นอกจากนี้ยังพบว่า โมเลกุล polyphenol ที่ศึกษามีศักยภาพในการเพิ่มพิษของยารักษามะเร็ง

โมเลกุลที่สกัดได้จากเนื้อไม้มะเเฒ่ามีศักยภาพสูงมากที่ควรจะได้รับการพัฒนาเพื่อ ประยุกต์ใช้เป็นยาต้านมะเร็งหรือในอุตสาหกรรมอาหาร

สารบัญ

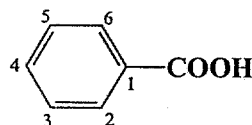
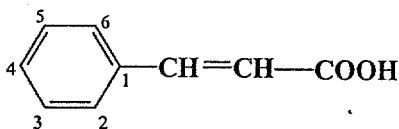
| | |
|--|----|
| บทที่ 1 บทนำ..... | 1 |
| บทที่ 2 วิธีการทดลอง และวัสดุที่ใช้ในการทดลอง..... | 5 |
| 2.1 การเตรียมสารละลาย..... | 5 |
| 2.2 การสกัดสารสกัดหยาบ จากเนื้อไม้เม่าหลวง (Crude extracts)..... | 5 |
| 2.3 ตรวจสอบส่วนประกอบทางเคมีของสารสกัดหยาบโดยวิธีทินเลเยอร์โครมาโทกราฟี แบบ 2 มิติ (Thin-Layer Chromatography two-dimension)..... | 6 |
| 2.4 วิธีการแยกสารบริสุทธิ์โดยวิธีคอลัมน์โครมาโทกราฟี (Column Chromatography)..... | 6 |
| 2. 5 Cell culture..... | 7 |
| 2.6 การทดสอบพิษของโมเลกุล anthracyclines ต่อเซลล์..... | 8 |
| 2.7 ประสิทธิภาพของโมเลกุลในการยับยั้งการทำงานของ P-glycoprotein..... | 9 |
| 2.8 ประสิทธิภาพของโมเลกุล ต่อความต่างศักย์เมมเบรนของไมโทคอนเดรีย และการ กำจัด ROS ที่ไมโทคอนเดรีย..... | 10 |
| บทที่ 3 ผลการทดลอง..... | 15 |
| 3.1 คุณสมบัติทางเคมีฟิสิกส์ของสารสกัด..... | 15 |
| 3.2 การทดสอบพิษของโมเลกุลต่อเซลล์..... | 23 |
| 3.3 ประสิทธิภาพของpolyphenol บางโมเลกุล ต่อความต่างศักย์เมมเบรนของไมโทคอน เดรีย และการกำจัด ROS ที่ไมโทคอนเดรีย..... | 25 |
| บทที่ 4 สรุปผลการทดลอง..... | 32 |
| เอกสารอ้างอิง..... | 33 |

บทที่ 1 บทนำ

สารในกลุ่ม Polyphenolic จัดเป็นกลุ่มโมเลกุลที่พบในพืช ผัก และผลไม้ และพบหลายชนิดรวมอยู่ในเครื่องดื่มบางชนิดโดยเฉพาะ ไวน์ และเบียร์ มีหลักฐานชัดเจนว่าสารในกลุ่ม polyphenolic มีฤทธิ์ในเชิงชีวภาพที่สำคัญเช่น การต้านการออกซิเดชัน และการต้านมะเร็ง ซึ่งได้รับการศึกษาอย่างกว้างขวาง โดยเฉพาะการนำไปใช้ในสุตรอาหาร ยา และเครื่องในปัจจุบัน

[1-7]

สีของพืชหลายชนิดจัดอยู่ในกลุ่ม polyphenolic ซึ่งแบ่งออกเป็น กลุ่มใหญ่ ๆ 2 กลุ่ม คือ (1) phenolic acid และ (2) flavonoid class ดังแสดงในรูปที่ 1 และ 2 ตามลำดับ



Substituent

2 - OH
4 - OH
2,5 -di-OH
3,4 -di-OH
3-OCH₃ 4-OH
3-OH 4-OCH₃
3,4,5-tri-OH

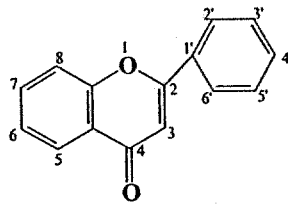
Hydroxycinnamic acid

o-Coumeric acid
p-Coumeric acid
Caffeic acid
Ferulic acid
Iso-ferulic acid

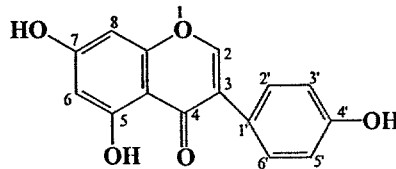
Hydroxybenzoic acid

Salicyl acid
p-hydroxybenzoic acid
Gentisic acid
procatechuic acid
Vanilic acid
Iso-vanilic acid
Gallic acid

รูปที่ 1 โครงสร้างทางเคมีของสารในกลุ่ม phenolic acid



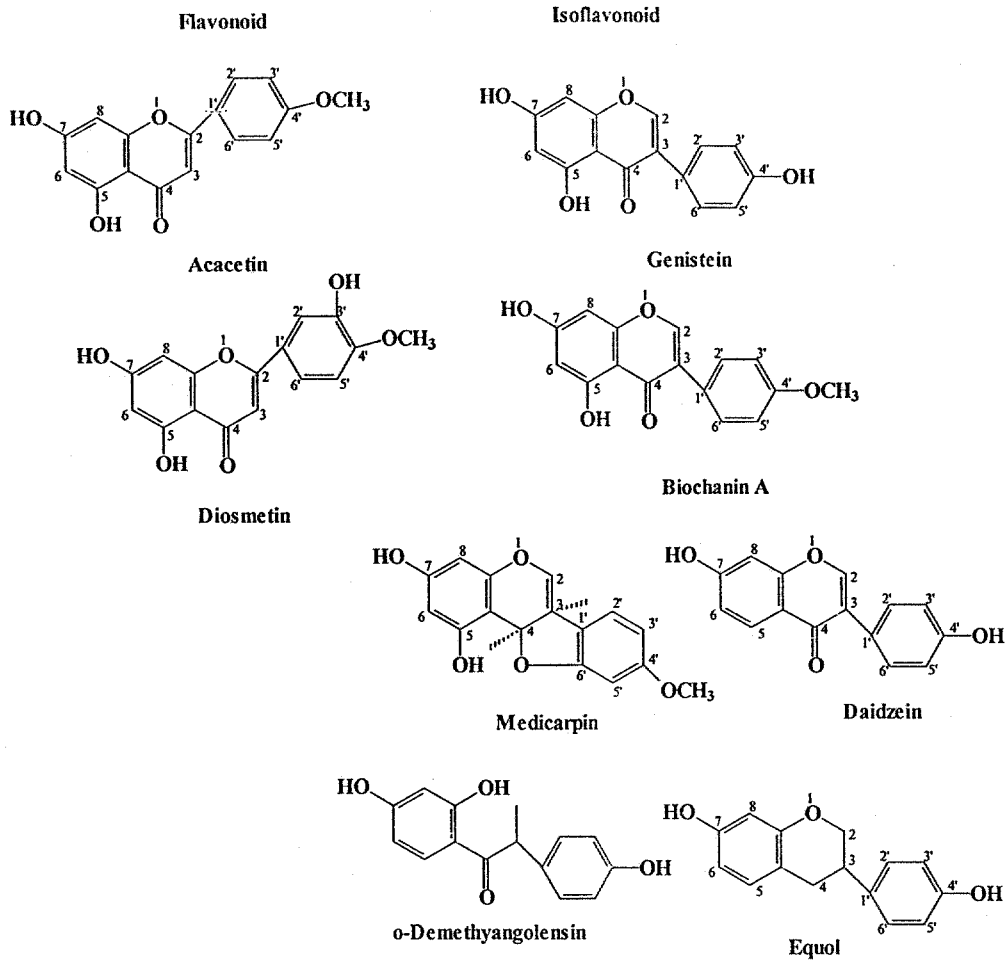
| Sustituent | | | | | | Flavonol | Flavone |
|------------|----|----|------------------|----|------------------|-----------|----------|
| 3 | 5 | 7 | 3' | 4' | 5' | | |
| OH | OH | OH | H | OH | H | Kamferol | |
| OH | OH | OH | OH | OH | H | Quercetin | Apeginin |
| H | OH | OH | H | OH | H | | |
| H | OH | OH | OCH ₃ | OH | OCH ₃ | | Tricin |



Genistein

รูปที่ 2 โครงสร้างพื้นฐานทางเคมีของสารในกลุ่ม flavonoid

ในปัจจุบันมากกว่า 8000 โมเลกุลของสารในกลุ่ม polyphenol ได้ถูกแยกจากธรรมชาติ โครงสร้างเคมีของสารกลุ่มนี้คล้ายคลึงกับ ฮอร์โมน Estrogen ของคนและสัตว์ ทำให้สารในกลุ่มนี้โดยกลุ่มย่อย Iso-flavonoid มีคุณสมบัติเป็น estrogen อ่อน ๆ และจากรายงานการศึกษาพบว่า polyphenol หลายชนิด (รูปที่ 3) มีคุณสมบัติเป็น phytoestrogen ใช้แทนฮอร์โมนในผู้หญิงที่อยู่ในวัยหมดประจำเดือน และอยู่ในระหว่างการศึกษาค้นคว้าเป็นไปได้ในการใช้ร่วมรักษาโรค มะเร็งเต้านม และต่อมลูกหมาก [8-14] เป็นต้น

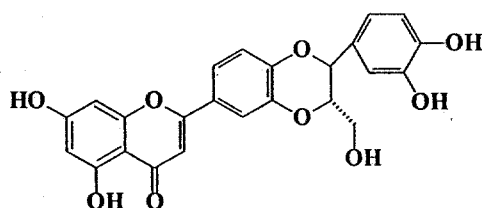


รูปที่ 3 สารในกลุ่ม polyphenol บางชนิดที่ออกฤทธิ์ต้านมะเร็งและใช้แทนฮอร์โมน

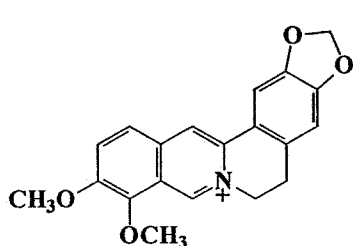
นอกจากสารในกลุ่ม polyphenol จะออกฤทธิ์ต้านแบคทีเรียและต้านมะเร็งหลายชนิดแล้ว ปัจจุบันกำลังเป็นที่สนใจของนักวิจัยอย่างมากคือ สารกลุ่มนี้สามารถออกฤทธิ์ต้านแบคทีเรียและ ต้านมะเร็งที่ดีเยี่ยม และเป็นสารยับยั้งการดื้อยาแบบ multidrug resistance ทั้งในแบคทีเรียดื้อยาและมะเร็งที่ดีเยี่ยม [15-30] Frank et al [31] ได้ทำการสกัดสารจากพืชตระกูล *B. fremontii* ซึ่งโมเลกุลที่สกัดได้จัดอยู่ในกลุ่ม alkaloid berberine ดังแสดงในรูปที่ 4 โมเลกุล

ดังกล่าวมีคุณสมบัติในการต้านจุลชีพในระดับต่ำเนื่องจากถูกแบคทีเรียขับออกนอกเซลล์โดย

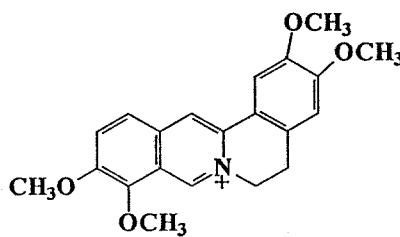
MDRs protein



5'-methoxyhydrnocarpin



Berberine



Palmatine

รูปที่ 4 โครงสร้างเคมีของสารสกัดจากใบ ของ *B. fremontii*

จากการวิจัยของหน่วยวิจัย Physical Chemistry, Molecular and cellular Biology

คณะวิทยาศาสตร์ มหาวิทยาลัยบูรพา พบว่าสารสกัดบริสุทธิ์ในกลุ่ม polyphenol จากต้นมะเเฒ่า

(*Antidesma thwaitesianum* Muell. Arg.) ซึ่งเป็นพืชท้องถิ่นไทยที่มีหลักฐานการใช้ในตำรับยา

ไทยโบราณ สามารถยับยั้งการเพิ่มจำนวนของเซลล์มะเร็งเม็ดเลือด K562 และเซลล์มะเร็งปอด

GCL4 ที่ไวและดีต่อยา adriamycin และสามารถป้องกันการทำลายของเซลล์จากสารอนุมูล

อิสระได้

บทที่ 2 วิธีการทดลอง และวัสดุที่ใช้ในการทดลอง

2.1 การเตรียมสารละลาย

สารละลายบัฟเฟอร์ HEPES- Na^+ ประกอบด้วย NaCl 132 mM, KCl 3.5 mM, CaCl_2 1 mM, MgCl_2 1.5 mM, HEPES 20 mM และ Glucose 5 mM ละลายในน้ำกลั่น 2 ครั้งโดยมีค่าความต้านทาน $>18 \text{ M}\Omega$ ปรับ pH เป็น 7.3 ที่อุณหภูมิ 25 องศาเซลเซียสด้วยสารละลาย NaOH 0.1 N

สารละลาย Anthracyclines เข้มข้นประมาณ 10^{-4} M ถูกเตรียมก่อนใช้งานและวัดความเข้มข้นด้วย Spectrophotometer รุ่น UV-2501 PC Shimadzu โดยใช้ค่าสัมประสิทธิ์การดูดกลืนแสง (Molar extinction coefficient) ที่ 480 นาโนเมตร เท่ากับ $11500 \text{ mol}^{-1} \cdot \text{cm}^{-1} \cdot \text{L}$

สารละลายที่ทำหน้าที่ชะ สาร A ประกอบด้วย เมทานอล : เอทิลเอน : กรดอะซิติกในอัตราส่วน 86.4 : 9.6 : 4 สาร B ประกอบด้วย เมทานอล:ไฮโดรเจนออกไซด์ ในอัตราส่วน 96:4

2.2 การสกัดสารสกัดหยาบ จากเนื้อไม้เม่าหลวง (Crude extracts)

เนื้อไม้เม่าหลวงเพศผู้และเพศเมียจาก อำเภอกุศุดาบ จังหวัดสกลนครที่แห้งสนิท 1648.62 กรัม บรรจุลงในโหลแก้วขนาด 20 ลิตร ที่ทำความสะอาด และอบแห้ง เดิม 60% เมฆานอลลงไป 10 ลิตร จนท่วมเนื้อไม้กดทับให้แน่น ปิดปากโหลแก้วให้สนิท หมักทิ้งไว้ 7 วัน โดยเขย่าโหลทุก 24 ชั่วโมงเป็นเวลา 7 วัน เพื่อให้เนื้อไม้สัมผัสกับเมฆานอลได้อย่างทั่วถึง นำสาร

ที่ได้จากการหมักมารองเอาเนื้อไม้ออก แล้วนำสารละลายใส่ขวดกักกลมนำไประเหยด้วย เครื่องกลั่นระเหย เพื่อเอาเมธานอลออกจนได้สารละลายเข้มข้น ซึ่งนำหนักสารที่ได้จากการ ระเหย และบันทึกผลเป็นน้ำหนักของสารสกัดหยาบ (crude extracts)

2.3 ตรวจสอบส่วนประกอบทางเคมีของสารสกัดหยาบโดยวิธีทีนเลเยอร์โครมาโทกราฟี แบบ 2 มิติ (Thin-Layer Chromatography two-dimension)

ตัดแผ่น TLC ที่มีซิลิกาเจลเคลือบอยู่ ให้ได้ขนาด 8X10 เซนติเมตร จุดสารสกัดที่ได้ จากการหมักเนื้อไม้เม่าหลวง ด้วยไมโครปิเปต ประมาณ 30 ไมโครลิตรลงบนมุมของแผ่น TLC ที่ทำเครื่องหมายไว้ ห่างจากขอบแผ่น 1 เซนติเมตรปล่อยให้แห้ง วางแผ่น TLC ที่แห้งแล้วลง ไปในถัง TLC ที่มีสาร A ปิดฝาไว้ ปล่อยให้สารละลายเคลื่อนที่จนกระทั่งห่างจากขอบด้านบน 1 เซนติเมตร นำออกมาตั้งทิ้งไว้ให้แห้ง นำไปส่องดูด้วยรังสีอัลตราไวโอเล็ต ทำสัญลักษณ์บน แผ่น TLC เมื่อพบตำแหน่งที่โมเลกุลไม่เรืองแสง (สีน้ำตาล) นำแผ่น TLC แผ่นเดิมใส่ถังรัน TLC ที่มีสาร B โดยทิศทางการเคลื่อนที่ตั้งฉากกับการเคลื่อนที่ของสาร A ปล่อยให้สารละลาย เคลื่อนที่จนกระทั่งห่างจากขอบด้านบน 1 เซนติเมตร นำออกมาตั้งทิ้งไว้ให้แห้ง นำไปส่องดูด้วย รังสีอัลตราไวโอเล็ต ทำสัญลักษณ์บนแผ่น TLC เมื่อพบตำแหน่งของโมเลกุล

2.4 วิธีการแยกสารบริสุทธิ์โดยวิธีคอลัมน์โครมาโทกราฟี (Column Chromatography)

ใช้คอลัมน์แก้ว ขนาดความยาว 90 เซนติเมตร ขนาดเส้นผ่าศูนย์กลาง 3 เซนติเมตร เท สาร A ลงในคอลัมน์แก้วที่มีสำลือดูดอยู่ที่ปลายคอลัมน์ ค่อยๆ เทผงซิลิกาเจลลงในคอลัมน์แก้ว

อย่างช้าๆ และใช้มือเคาะข้างๆ คอลัมน์เพื่อให้ซิลิกาเจลสม่ำเสมอ จนกระทั่งคอลัมน์มีซิลิกาเจล อิมตัวสูงประมาณ 60 เซนติเมตร ปล่อยสาร A ออกมาทางด้านปลายคอลัมน์ จนสารละลายสูงกว่าขอบ ซิลิกาเจลเล็กน้อย ใช้สำลีปิดทางด้านบนซิลิกาเจล คลุกสารสกัดเม้าหลวงที่ได้จากการ ระเหยให้เข้มข้นแล้วกับผงซิลิกาเจลผสมให้เข้ากัน เทลงในคอลัมน์ กดให้แน่น ใช้สำลีปิดด้าน บน เทสาร A ลงไปเรื่อยๆ สังเกตเห็นสารสกัดเม้าหลวงแยกออกเป็นชั้นๆ ในคอลัมน์ ซึ่งให้แถบ สีต่างๆ กัน แยกเก็บสารที่ได้ในแต่ละส่วน ซึ่งมีสีต่างๆ กัน ในขวดรูปชมพู่ เทสาร A จนครบ 2.5 ลิตร จากนั้นให้เปลี่ยนตัวทำละลายเป็นสาร B นำสารที่แยกได้ไประเหยโดยเครื่องกลั่นระเหย เพื่อแยกเอาตัวทำละลายออก แล้วนำไปวิเคราะห์ค่าการดูดกลืนแสงโดยใช้ UV-visible spectrophotometer และนำไปตรวจวัดมวลโมเลกุลด้วยเครื่อง mass spectrometer เก็บสารที่ แยกบริสุทธิ์ได้ภายใต้บรรยากาศไนโตรเจนไว้ที่อุณหภูมิ -20 องศาเซลเซียส

2. 5 Cell culture

เซลล์มะเร็งชนิด Erythromyogenous leukemic cell (K562) และ small cell lung carcinoma (GLC4) ทั้งชนิดที่ไวและดื้อต่อยา Adriamycin ถูกเลี้ยงในอาหารชนิด RPMI 1640 โดยเติม 10 % calf serum และ 1% Penicillin-Streptomycin บ่มในตู้บ่มที่ควบคุมความ เข้มข้นของ CO_2 โดยปรับอุณหภูมิให้มีค่า 37 องศาเซลเซียส ความชื้น 95% และความเข้มข้น ของ $\text{CO}_{2(g)}$ 5 %

การเตรียมเซลล์เริ่มต้นในการเลี้ยง 10^5 เซลล์ ต่อ มิลลิลิตร โดยเซลล์จะเจริญเข้าสู่ระยะ exponential phase ในระยะเวลา 72 ชั่วโมงซึ่งจะได้เซลล์ที่มีความเข้มข้นประมาณ $0.8-1 \times 10^6$ เซลล์ ต่อ มิลลิลิตร และถ้าเตรียมเซลล์ที่มีความเข้มข้นเริ่มต้น 5×10^5 เซลล์ ต่อ มิลลิลิตร เซลล์จะเจริญเข้าสู่ระยะ exponential phase ในระยะเวลา 24 ชั่วโมงซึ่งจะได้เซลล์ที่มีความเข้มข้นประมาณ $0.8-1 \times 10^6$ เซลล์ ต่อ มิลลิลิตร การนับจำนวนเซลล์ทำโดยใช้ hemocytometer

ปริมาณของเซลล์ตายทดสอบโดยการทำการซึมเข้าสู่เซลล์ของโมเลกุล Trypan Blue โดยเซลล์ที่ตายแล้วจะสูญเสียความสามารถในการกั้นแยก Trypan Blue ตลอดระยะเวลาในการทดลองนี้พบเปอร์เซ็นต์การตายของเซลล์ก่อนการทดลองแต่ละชุดไม่เกิน $1.2 \pm 1\%$

2.6 การทดสอบพิษของโมเลกุล anthracyclines ต่อเซลล์

เซลล์ที่มีความเข้มข้น 5×10^4 เซลล์ ต่อ มิลลิลิตร ถูกบ่มในอาหารเลี้ยงชนิด RPMI 1640 ที่มีปริมาตรสุทธิ 1 มิลลิลิตร โดยเติมความเข้มข้นของโมเลกุลที่ต้องการทดสอบเพิ่มขึ้นเรื่อยๆ แล้วนำไป บ่มในตู้บ่มที่ควบคุมความเข้มข้นของ CO_2 โดยปรับอุณหภูมิให้มีค่า 37 องศาเซลเซียส ความชื้น 95% และความเข้มข้นของ $\text{CO}_{2(g)}$ 5 % เป็นระยะเวลา 72 ชั่วโมง ความสามารถในการยับยั้งการเพิ่มจำนวนของเซลล์ หรือปริมาณเซลล์ที่มีชีวิตทดสอบโดยเติม 120 μL MTT (0.833 g/l) แล้วนำไปบ่มต่อเป็นเวลา 4 ชั่วโมง นำเซลล์ไปปั่นแยกและล้างตะกอนเซลล์ด้วยสารละลายบัฟเฟอร์ 1 ครั้ง เก็บตะกอนเซลล์และเติม 200 μL DMSO แล้วนำไปวัดค่าการดูดกลืนแสงด้วยเครื่อง spectrophotometer

เปอร์เซ็นต์การยับยั้งการเพิ่มจำนวนของเซลล์คำนวณได้จากความสัมพันธ์ต่อไปนี้

$$\%IC = 100 \left\{ \frac{D.O._{(control)} - D.O._{(drug)}}{D.O._{(control)} - D.O._{(5 \times 10^4)}} \right\} \quad (1)$$

เมื่อ $D.O._{(control)}$ = จำนวนเซลล์ที่ยังมีชีวิตอยู่ ต่อ มิลลิลิตรโดยเลี้ยงในอาหารที่ไม่มียา

$D.O._{(drug)}$ = จำนวนเซลล์ที่ยังมีชีวิตอยู่ ต่อ มิลลิลิตรโดยเลี้ยงในอาหารที่มียา

ประสิทธิภาพของโมเลกุลแสดงโดยค่า IC_{50} ซึ่งหมายถึงความเข้มข้นของโมเลกุลที่

ทดสอบที่สามารถยับยั้งการเพิ่มจำนวนของเซลล์ได้ 50 %

Resistance Factor (RF) นิยามจากสัดส่วนของ IC_{50} ของเซลล์ดื้อยาต่อ IC_{50} ของเซลล์ที่ไวต่อยา

2.7 ประสิทธิภาพของโมเลกุลในการยับยั้งการทำงานของ P-glycoprotein

เซลล์ที่มีความเข้มข้น 5×10^4 เซลล์ ต่อ มิลลิลิตร ถูกบ่มในอาหารเลี้ยงชนิด RPMI 1640 ที่มีปริมาตรสุทธิ 1 มิลลิลิตร โดยเติมความเข้มข้นของ pirarubicin หรือ doxorubicin และโมเลกุลที่ต้องการทดสอบเพิ่มขึ้นเรื่อยๆ แล้วนำไป บ่มในตู้บ่มที่ควบคุมความเข้มข้นของ CO_2 โดยปรับอุณหภูมิให้มีค่า 37 องศาเซลเซียส ความชื้น 95% และความเข้มข้นของ CO_2 5 % เป็นระยะเวลา 72 ชั่วโมง ประสิทธิภาพของโมเลกุลในการยับยั้งการทำงานของ P-glycoprotein ทำให้ระดับความเข้มข้นของยาภายในเซลล์สูง ใช้สัญญาณลักษณะ β คำนวณได้จากความสัมพันธ์ต่อไปนี้

$$\beta = \left(\frac{IC_{50R} - IC_{50RI}}{IC_{50R} - IC_{50S}} \right)$$

IC_{50R} คือความเข้มข้นของ anthracycline ที่สามารถยับยั้งการเพิ่มจำนวนของเซลล์ที่

ดื้อยาได้ 50 %

IC_{50RI} คือความเข้มข้นของ anthracycline ที่สามารถยับยั้งการเพิ่มจำนวนของเซลล์ที่

ดื้อยาได้ 50 % เมื่อมีโมเลกุลที่ยับยั้งการทำงานของ P-glycoprotein

IC_{50S} คือความเข้มข้นของ anthracycline ที่สามารถยับยั้งการเพิ่มจำนวนของเซลล์ที่ไว

ยาได้ 50 %

2.8 ประสิทธิภาพของโมเลกุล ต่อความต่างศักย์เมมเบรนของไมโทคอนเดรีย และการกำจัด

ROS ที่ไมโทคอนเดรีย

ไมโทคอนเดรียเป็นแหล่งสังเคราะห์พลังงานที่เกี่ยวข้องกับขบวนการเมทาบอลิซึมของไขมัน

โปรตีน และคาร์โบไฮเดรตที่สำคัญของเซลล์ ทำให้มีการเหนี่ยวนำการสร้างสารอนุมูลอิสระ

หลายชนิดเช่น superoxide anions ($O_2^{\bullet-}$) hydroxyl radical (OH^{\bullet}) และ hydrogen peroxide

(H_2O_2) ส่งผลให้เกิดการทำงานที่ผิดปกติของไมโทคอนเดรียหรือถูกทำลาย การติดตามการ

ทำงานของไมโทคอนเดรียโดยตรงจึงเป็นตรรกะหนึ่งซึ่งถึงระดับภาวะ oxidative damage อันเนื่อง

มาจากสารอนุมูลอิสระ ที่หน่วยวิจัย physical chemistry Molecular and cellular biology, คณะ

วิทยาศาสตร์ มหาวิทยาลัยบูรพา ได้แสดงให้เห็นถึงความสัมพันธ์ระหว่างสภาวะเครียดและการ

เปลี่ยนแปลงระดับสถานะภาพเชิงพลังงานของไมโทคอนเดรีย ซึ่งการศึกษาการเปลี่ยนแปลง

การทำงานของไมโทคอนเดรีย และสถานภาพพลังงานของเซลล์ สามารถกระทำได้แบบไม่ทำลายเซลล์โดยติดตามการสะสมของ Rhodamine B ในไมโทคอนเดรีย ด้วยเทคนิค flow cytometry และ conventional spectrofluorometry

Rhodamine B ถูกนำเข้าไปและสะสมอยู่ในเซลล์โดยความต่างศักย์เมมเบรน โดยเข้าไปสะสมจำเพาะในไมโทคอนเดรีย ซึ่งความเร็วในการซึมเข้าและปริมาณของโมเลกุลที่สะสมในไมโทคอนเดรียขึ้นอยู่กับความต่างศักย์เมมเบรนของไมโทคอนเดรีย ความจำเพาะของการสะสมของ Rhodamine B ในไมโทคอนเดรียถูกตรวจสอบ โดย (1) เติม $5 \mu\text{M}$ FCCP ทำให้ความต่างศักย์เมมเบรนของไมโทคอนเดรียถูกลบ ส่งผลให้ปริมาณการสะสมของ Rhodamine B ลดลงอย่างมาก (2) เติม $5 \mu\text{M}$ Cyclosporine A ซึ่งเป็นตัวยับยั้งการเปิดของ mitochondrial permeability transition pores (MTP) ของไมโทคอนเดรีย ทำให้ความต่างศักย์เมมเบรนของไมโทคอนเดรียสูงขึ้นทำให้ Rhodamine B สะสมในไมโทคอนเดรียมากขึ้น และ (3) เติม MTT ซึ่งถูกรีดิวส์ด้วย succinate dehydrogenase (complex II) ทำให้ความต่างศักย์เมมเบรนของไมโทคอนเดรียเพิ่มขึ้นทำให้ Rhodamine B สะสมมากขึ้น ในขณะที่เดียวกันสัญญาณการเรืองแสงของ Rhodamine B จะถูกดับลง (quenching) โดยผลผลิตของการรีดิวส์ MTT ที่เกิดในไมโทคอนเดรีย

การเข้าสู่เซลล์ของ Rhodamine B สามารถขยายผลเพื่อให้สามารถติดตามด้วยเครื่อง conventional spectrofluorometer ดังรูปที่ 5 เมื่อเซลล์ถูกบ่มกับ 40 nM Rhodamine B ซึ่งให้ความเข้มของสัญญาณการเรืองแสงเท่ากับ F_0 โดยสัญญาณการเรืองแสงจะคงที่ เมื่อเติม MTT

มีผลทำให้สัญญาณการเรืองแสงลดลงเรื่อยเมื่อเวลาผ่านไป ซึ่งความชันของกราฟ $(\frac{dF}{dt})_{MTT}$

แสดงถึงความเร็วในการเข้าสู่เซลล์ของ Rhodamine B ซึ่งความเร็วในการเข้าสู่เซลล์ของ

Rhodamine B สามารถคำนวณได้จาก

$$V_{rho} = (\frac{dF}{dt}) \times C_T$$

เมื่อ C_T คือความเข้มข้นของ Rhodamine B ที่เติมเข้าไปมีหน่วยเป็น M

ความเร็วในการเข้าสู่เซลล์ของ Rhodamine B ขึ้นอยู่กับความต่างศักย์เมมเบรนของไม

โทคอนเดรีย ความต่างศักย์เมมเบรนไมโทคอนเดรียสามารถคำนวณได้จากความสัมพันธ์ของ

Nerst ดังนี้

$$[Rho B]_m/[RhoB]_i = 10^{(\Delta\Psi_m.F/2.303RT)}$$

เมื่อเวลาใกล้ ๆ จุดเริ่มต้นและความเร็วของการเข้าไปสะสมภายในไมโทคอนเดรียใน

หน่วย nM/s ทำให้สามารถคำนวณความต่างศักย์เมมเบรนในหน่วย mV ได้ดังนี้

$$\Delta\Psi_m = -61.51 \log V_i - 258.46$$

ประสิทธิภาพของโมเลกุล apigenin ต่อการเปลี่ยนแปลงความต่างศักย์เมมเบรนของไม

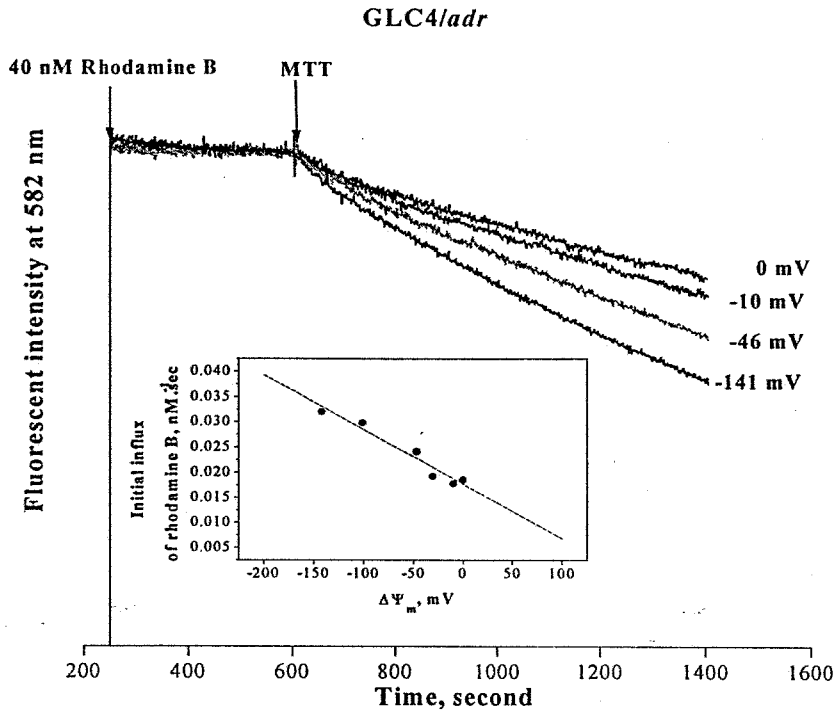
โทคอนเดรีย ในสภาวะปกติ และในสภาวะ oxidative stress

การทดสอบประสิทธิภาพของโมเลกุล polyphenol ต่อการเปลี่ยนแปลงความต่างศักย์

เมมเบรนของไมโทคอนเดรีย และการกำจัด ROS ที่ไมโทคอนเดรีย โดยบ่มเซลล์กับโมเลกุล

polyphenol ที่ความเข้มข้นเพิ่มขึ้นตามลำดับ ในสภาวะที่เซลล์ปกติ และที่บ่มเซลล์ในสภาวะ

ต่างๆเพื่อชักนำให้เกิดภาวะ oxydative stress จากภายนอกโดยบ่มเซลล์ด้วย H_2O_2 100 μM 2 ชั่วโมง และจากภายในโดยบ่มเซลล์ด้วย BSO (DL-Buthionine-[S,R]-Sulfoximine) 50 μM 20 ชั่วโมง และบ่มต่อด้วย H_2O_2 100 μM 2 ชั่วโมง และติดตามการลดลงของสัญญาณ rhodamine B ที่ 582 nm (excite 553 nm) การลดลงของสัญญาณ rhodamine B เพียงเล็กน้อยสามารถแสดงถึงการเปลี่ยนแปลงความต่างศักย์เมมเบรนของไมโทคอนเดรียได้อย่างมีนัยสำคัญ



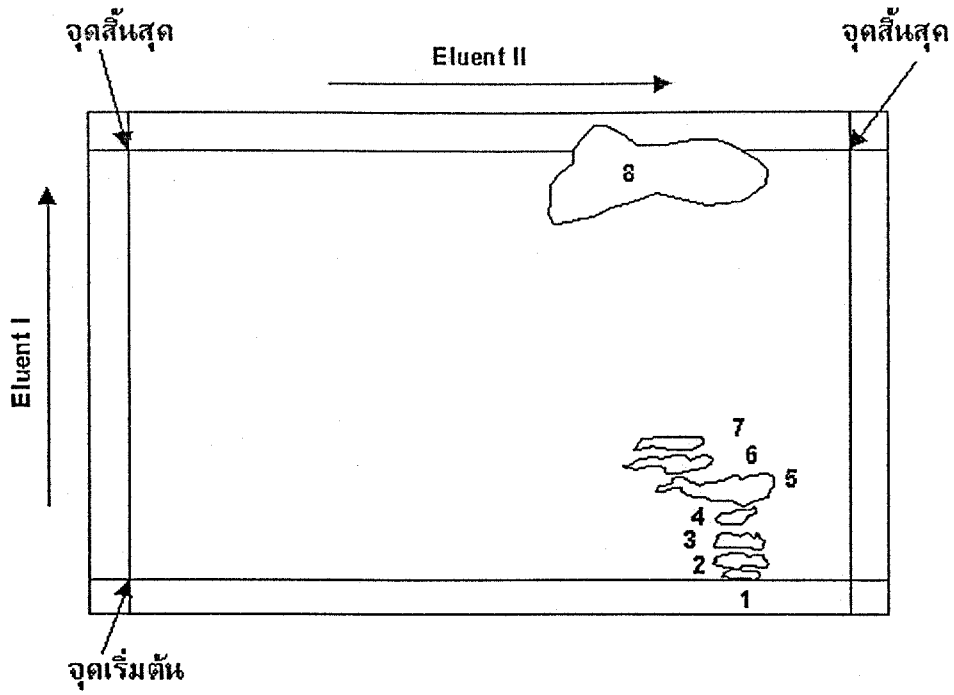
รูปที่ 5 การวัดความต่างศักย์ของไมโทคอนเดรียโดย rhodamine B และ MTT-reduction (ก). กราฟมาตรฐาน (calibration curve) ระหว่างความต่างศักย์เมมเบรนของไมโทคอนเดรีย กับ อัตราเร็วของการสะสม rhodamine B ในไมโทคอนเดรีย (ข)

บทที่ 3 ผลการทดลอง

3.1 คุณสมบัติทางเคมีฟิสิกส์ของสารสกัด

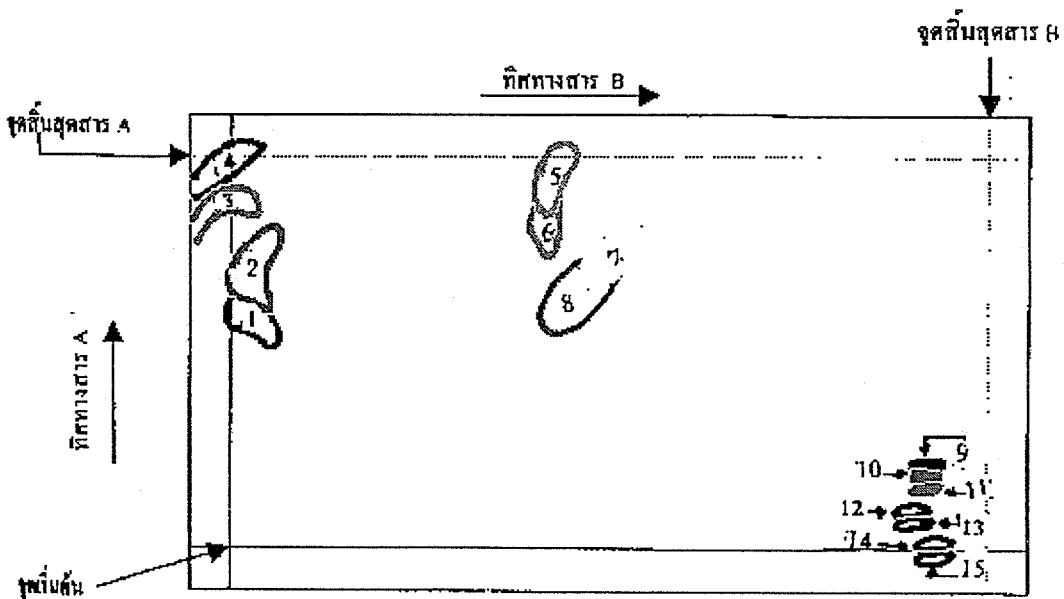
มะเฒ่าหลวง (*Antidesma Thwaitesianum* Muell. Arg) เป็นไม้ยืนต้นที่พบกระจายอยู่ทั่วไปในประเทศไทย จัดเป็นไม้แยกเพศผู้และเพศเมีย ชาวไทยได้รู้จักนำเนื้อไม้มะเฒ่ามาใช้เป็นองค์ประกอบของยาโดยมีสรรพคุณหลากหลาย ในการศึกษาพบว่าสารสกัดหยาบของเนื้อเยื่อไม้มะเฒ่าเพศผู้และเพศเมียที่ได้จากการสกัดโดยใช้ 60% Methanol มีองค์ประกอบทางเคมี (โดยเทคนิคด้วยเทคนิค 2-D TLC) ดังแสดงในรูปที่ 6 และ รูปที่ 7 โดยพบว่า สารสกัดหยาบของมะเฒ่าเพศผู้ประกอบด้วยโมเลกุลทั้งหมด 8 กลุ่ม และสารสกัดหยาบของมะเฒ่าเพศเมียประกอบด้วยโมเลกุล 15 กลุ่ม คุณลักษณะเฉพาะการเคลื่อนที่ของสาร (R_f) แสดงในตารางที่ 1

โมเลกุลที่แยกบริสุทธิ์จากสารสกัดหยาบของมะเฒ่าเพศผู้และเพศเมียโดยเทคนิคคอลัมน์โครมาโตกราฟี (ตารางที่ 2๗ และคุณลักษณะเฉพาะแถบการดูดกลืนแสงและสเปกตรัมแสดงมวลโมเลกุลแสดงในรูปที่ 7 8 9 และตารางที่ 3



รูปที่ 6 ส่วนประกอบทางเคมีของสารสกัดหยาบจากเนื้อไม้เม้าหลวงเพศผู้ที่แยกได้

ด้วยเทคนิคทินเลเยอร์โครมาโตกราฟี แบบ 2 มิติ



รูปที่ 7 ส่วนประกอบทางเคมีของสารสกัดหยาบจากเนื้อไม้เม้าหลวงเพศเมียที่แยกได้

ด้วยเทคนิคทินเลเยอร์โครมาโตกราฟี แบบ 2 มิติ

ตารางที่ 1 ค่า Rf ของโมเลกุลที่แยกโดยเทคนิค 2-D TLC จากสารสกัดหยาบของเนื้อ

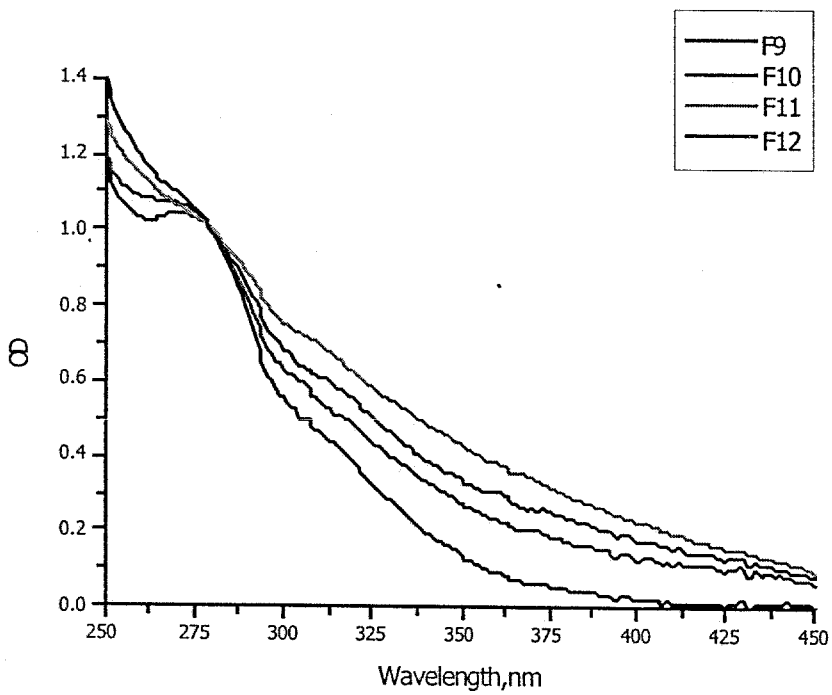
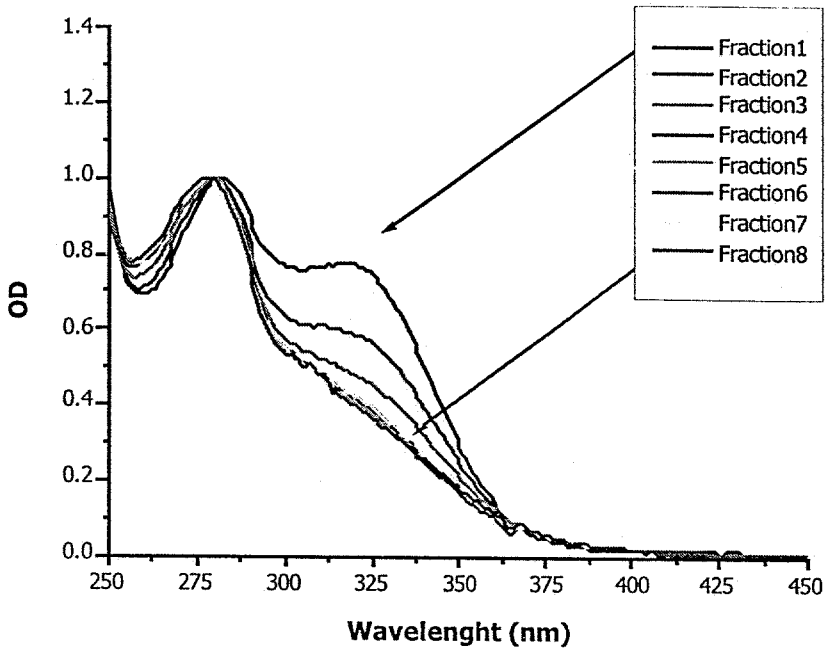
ไม้มะเฝ้าเพสผู้และเพคเมีย

| โมเลกุลลำดับที่ | สารสกัดหยาบจากเนื้อไม้เพคผู้ | | สารสกัดหยาบจากเนื้อไม้เพคผู้ | |
|-----------------|------------------------------|--------|------------------------------|--------|
| | เรื่องแสงสี | ค่า Rf | เรื่องแสงสี | ค่า Rf |
| 1 | สีน้ำตาล | 0.908 | สีน้ำตาล | 0.592 |
| 2 | สีน้ำตาล | 0.898 | สีน้ำตาล | 0.704 |
| 3 | สีน้ำตาล | 0.900 | สีน้ำตาล | 0.876 |
| 4 | สีน้ำตาล | 0.950 | สีน้ำตาล | 0.975 |
| 5 | สีน้ำตาล | 0.835 | สีน้ำตาล | 0.433 |
| 6 | สีน้ำตาล | 0.812 | สีน้ำตาล | 0.444 |
| 7 | สีน้ำตาล | 0.825 | สีน้ำตาล | 0.511 |
| 8 | สีน้ำตาล | 0.602 | สีน้ำตาล | 0.456 |
| 9 | | | สีน้ำตาล | 0.911 |
| 10 | | | สีน้ำตาล | 0.911 |
| 11 | | | สีน้ำตาล | 0.911 |
| 12 | | | สีน้ำตาล | 0.911 |
| 13 | | | สีน้ำตาล | 0.911 |
| 14 | | | สีน้ำตาล | 0.944 |
| 15 | | | สีน้ำตาล | 0.944 |

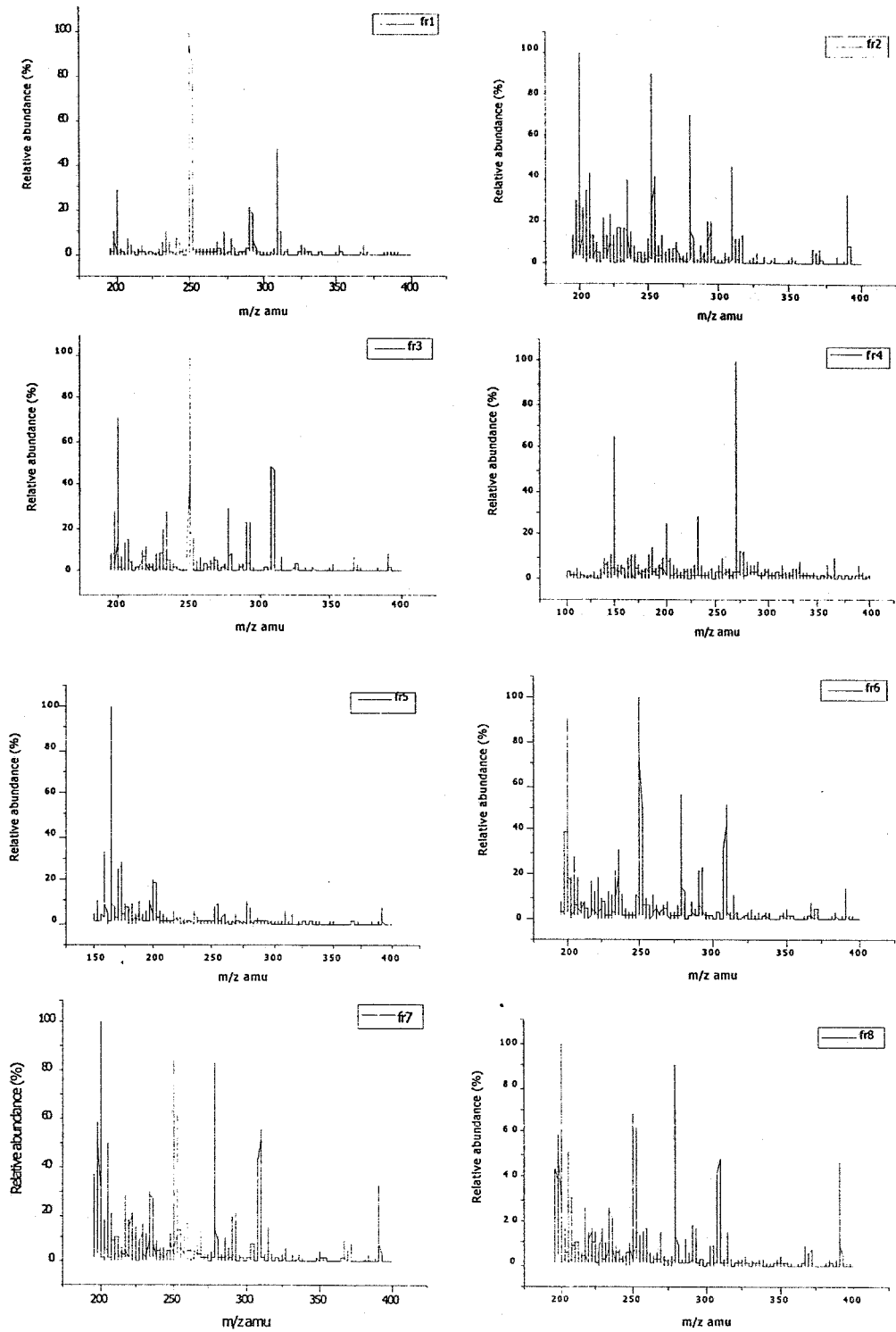
ตารางที่ 2 สารสกัดที่แยกได้ สีของสารละลาย และปริมาตรของสารละลายที่แยกโดยใช้

เทคนิคคอลัมน์โครมาโตกราฟีของสารสกัดจากเนื้อไม้มะเเมา

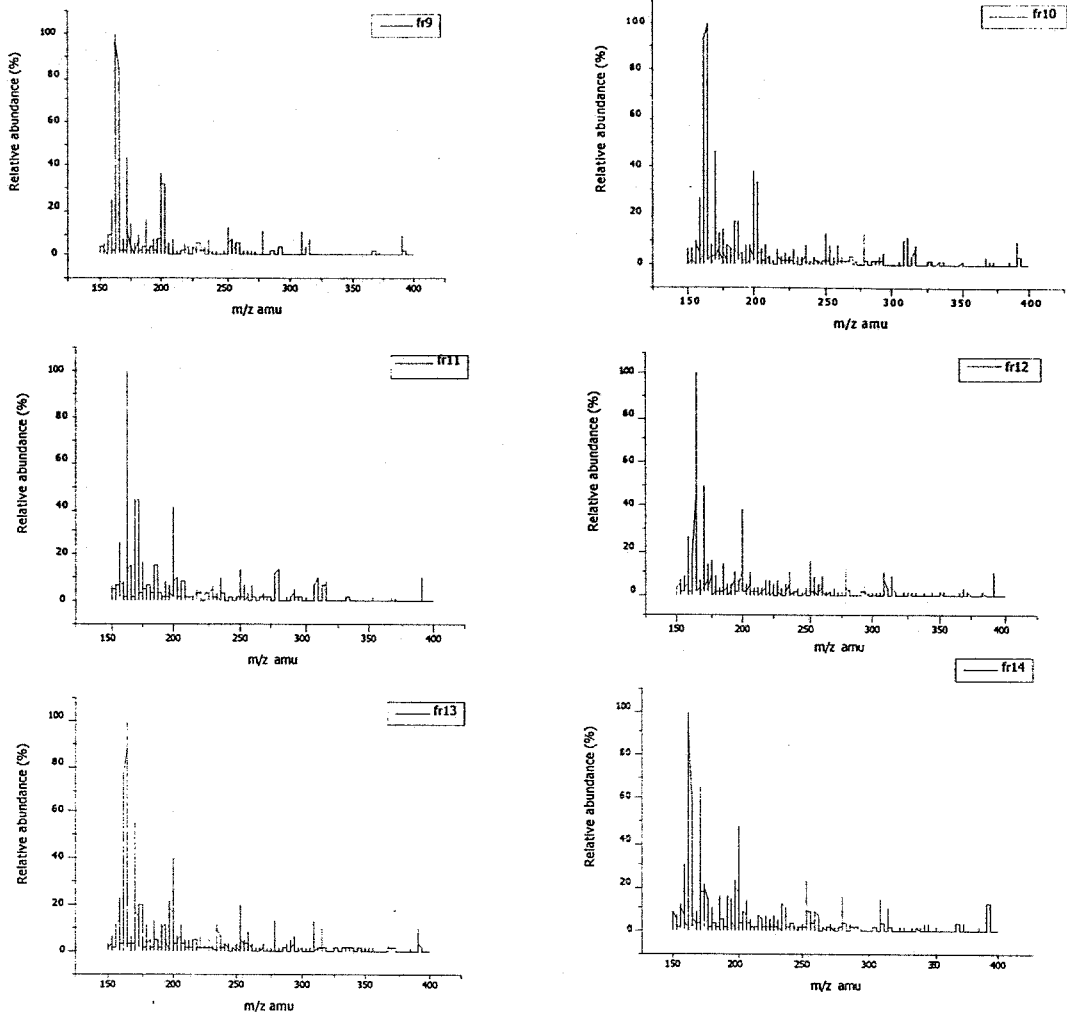
| Eluent | มะเเมาเพศผู้ | | | มะเเมาเพศเมีย | | |
|--------|--------------|------------------|--------------|---------------|------------------------|--------------|
| | fraction | สีของสารละลาย | ปริมาตร (ml) | fraction | สีของสารละลาย | ปริมาตร (ml) |
| A | 1 | น้ำตาลเข้ม | 100 | 1 | เหลืองอมเขียว | 50 |
| | 2 | น้ำตาลดำ | 100 | 2 | น้ำตาลอมเขียว | 100 |
| | 3 | น้ำตาลแดง | 200 | 3 | น้ำตาลเข้ม | 120 |
| | 4 | ส้ม | 150 | 4 | น้ำตาลดำ | 200 |
| | 5 | ส้มอ่อน | 150 | 5 | น้ำตาลอมส้ม | 150 |
| | 6 | เหลืองเข้ม | 200 | 6 | น้ำตาลอมเหลือง | 250 |
| | 7 | เหลือง | 300 | 7 | ส้มอมเหลือง | 350 |
| | 8 | เหลืองอ่อน | 200 | 8 | เหลืองอำพัน | 250 |
| | 9 | เหลืองส้มอ่อน | 250 | 9 | เหลืองเข้ม | 250 |
| | 10 | เหลืองส้มอ่อนมาก | 200 | 10 | เหลือง | 350 |
| B | 11 | เหลือง | 660 | 11 | เหลืองอ่อน | 450 |
| | | | | 12 | เหลืองอ่อน(อ่อนกว่า11) | 500 |
| | | | | 13 | เหลืองอ่อน(อ่อนกว่า12) | 750 |
| | | | | 14 | เหลืองจาง | 500 |



รูปที่ 8 แถบการดูดกลืนแสงของสารสกัดบริสุทธิ์จากเนื้อไม้มะเเฒ่าเทศเมีย



รูปที่ 9.1 สเปกตรัมแสดงมวลโมเลกุลของสารสกัดที่แยกบริสุทธิ์ Fraction ที่ 1-8



รูปที่ 9.2 สเปกตรัมแสดงมวลโมเลกุลของสารสกัดที่แยกบริสุทธิ์ Fraction ที่ 9-14

ตารางที่ 3 มวลโมเลกุลของสารสกัดที่แยกบริสุทธิ์ด้วยเทคนิคคอลัมโครมาโตกราฟี

| Eluent | มะเมาะเทศผู้ | | | มะเมาะเทศเมีย | | |
|--------|--------------|------------------|------------|----------------|------------------------|------------|
| | Fraction | สีของสารละลาย | มวลโมเลกุล | fraction | สีของสารละลาย | มวลโมเลกุล |
| A | 1 | น้ำตาลเข้ม | } 270 | 1 | เหลืองอมเขียว | 308.19 |
| | 2 | น้ำตาลดำ | | 2 | น้ำตาลอมเขียว | 390.19 |
| | 3 | น้ำตาลแดง | | 3 | น้ำตาลเข้ม | 308.19 |
| | 4 | ส้ม | | 4 | น้ำตาลดำ | 270.02 |
| | 5 | ส้มอ่อน | 5 | น้ำตาลอมส้ม | 199.03 | |
| | 6 | เหลืองเข้ม | 6 | น้ำตาลอมเหลือง | 308.19 | |
| | 7 | เหลือง | 7 | ส้มอมเหลือง | 390.30 | |
| | 8 | เหลืองอ่อน | 8 | เหลืองอัมพัน | 390.40 | |
| | 9 | เหลืองส้มอ่อน | 9 | เหลืองเข้ม | } 390.21 | |
| | 10 | เหลืองส้มอ่อนมาก | 10 | เหลือง | | |
| | | 11 | เหลืองอ่อน | | | |
| B | 11 | เหลือง | | 12 | เหลืองอ่อน(อ่อนกว่า11) | } |
| | | | | 13 | เหลืองอ่อน(อ่อนกว่า12) | |
| | | | | 14 | เหลืองจาง | |

3.2 การทดสอบพิษของโมเลกุลต่อเซลล์

ความสามารถในการต้านมะเร็งของสารสกัดหยาบและโมเลกุลที่แยกบริสุทธิ์ด้วยเทคนิคคอลัมน์โครมาโตกราฟีบางโมเลกุลแสดงในตารางที่ 4 และ 5

ตารางที่ 4 ความสามารถในการต้านมะเร็งเม็ดเลือด K562 ที่ไวและดื้อต่อยา doxorubicin ของสารสกัดจากเนื้อไม้มะเฒ่าเพศผู้และเพศเมีย

| ชนิดของสาร | IC ₅₀ (µg/ml) | | Resistance factor |
|---------------|----------------------------|-------------|-------------------|
| | K 562 | K562/adr | |
| มะเฒ่าเพศผู้ | | | |
| สารสกัดหยาบ | 0.10 ± 0.05 | 0.08 ± 0.01 | 0.80 |
| โมเลกุลที่ 1 | 2.53 ± 0.39 | 0.13 ± 0.02 | 0.05 |
| โมเลกุลที่ 4 | 6.75 ± 0.20 | 7.50 ± 2.00 | 1.11 |
| โมเลกุลที่ 9 | 0.35 ± 0.05 | 0.16 ± 0.05 | 0.46 |
| มะเฒ่าเพศเมีย | | | |
| สารสกัดหยาบ | 3.57 ± 0.12 | 2.50 ± 0.42 | 0.7 |
| โมเลกุลที่ 1 | 5.00 ± 3.22 | 7.72 ± 1.14 | - |
| โมเลกุลที่ 2 | 9.40 ± 0.30 | 10.0 ± 0.70 | 1.06 |
| โมเลกุลที่ 3 | 10.0 ± 1.89 (Icmax=36%) | 10.0 ± 0.84 | - |
| โมเลกุลที่ 6 | 10.0 ± 3.03 (Icmax=33%) | 10.0 ± 9.52 | - |

156150

521.978
 8 698
 ๓๓

ตารางที่ 5 ความสามารถในการต้านมะเร็งเม็ดเลือด K562 และ GLC4 ที่ไวและดื้อต่อ

ยา doxorubicin ของสารสกัดบริสุทธิ์บางโมเลกุลของมะเฝ้าเทศเม็ย

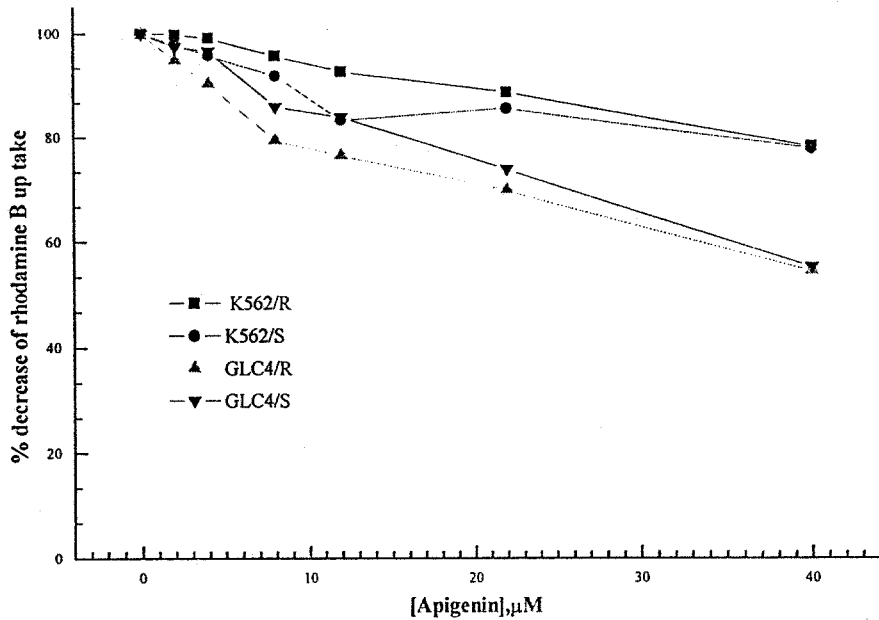
| Molecules | IC ₅₀ µg/ml | | | |
|-------------|------------------------|----------|--------|----------|
| | K562 | K562/adr | GLC4 | GLC4/adr |
| Fraction 4 | 215 | 300 | 125 | 100 |
| Fraction 5 | 350 | 420 | 200 | 165 |
| Fraction 6 | 320 | 420 | 310 | 215 |
| Fraction 7 | 340 | 410 | 230 | 175 |
| Fraction 8 | 510 | 430 | 185 | 150 |
| Apigenin | 3.21 | 1.68 | 1.52 | 1.61 |
| Eriodictyol | 7.15 | 2.98 | 4.23 | 3.93 |
| Kaempferol | 3.79 | 3.07 | 2.81 | 2.52 |
| Quercitrin | 3.19 | 1.48 | 2.44 | 3.37 |
| Pirarubicin | 0.0149 | 0.0999 | 0.0093 | 0.0534 |

3.3 ประสิทธิภาพของ polyphenol บางโมเลกุล ต่อความต่างศักย์เมมเบรนของไมโทคอน

เดรีย และการกำจัด ROS ที่ไมโทคอนเดรีย

ในชุดการทดลองได้เลือกใช้ Apigenin โดยพบว่าในระดับความเข้มข้น 40 μM มีผลทำให้ความต่างศักย์ที่ไมโทคอนเดรียลดลงในทุก cell lines (รูปที่ 10)

เนื่องจากโมเลกุล apigenin มีคุณสมบัติเป็น antioxidant ดังนั้นเพื่อที่จะทดสอบประสิทธิภาพของโมเลกุล apigenin ต่อการกำจัด ROS ที่ไมโทคอนเดรีย ได้ทำการทดลองโดยบ่มเซลล์กับ H_2O_2 100 μM เป็นเวลา 2 ชั่วโมง เมื่อทำให้เซลล์อยู่ในสภาวะเครียดจากการเพิ่มปริมาณของ ROS พบว่าในเซลล์มะเร็ง GLC4 ความต่างศักย์เมมเบรนของไมโทคอนเดรียลดลงอย่างมีนัยสำคัญ (รูปที่ 11ก) และโมเลกุล apigenin (40 μM) สามารถกำจัด ROS และเพิ่มความต่างศักย์ไมโทคอนเดรียได้เฉพาะในเซลล์มะเร็ง GLC4 โดยมีความเร็วการซึมผ่านของสัญญาณ rhodamine B เพิ่มขึ้น 0.5, 0.97 เท่าในเซลล์มะเร็ง GLC4/S, GLC4/ADR ตามลำดับ (รูปที่ 11ข) และพบว่าเซลล์มะเร็ง K562 สามารถทนต่อภาวะ oxidative stress ได้ดีกว่าเซลล์มะเร็ง GLC4 และในภาวะที่ชักนำให้เซลล์มะเร็ง K562 อยู่ในภาวะ oxidative stress พบว่าโมเลกุล



รูปที่ 10 ประสิทธิภาพของโมเลกุล APIGENIN ต่อการลดลงของการซึมผ่านของสัญญาณ RHODAMINE B ในเซลล์มะเร็ง K562 และ GLC4 ที่ดื้อต่อยา และที่ไวต่อยาตามลำดับ

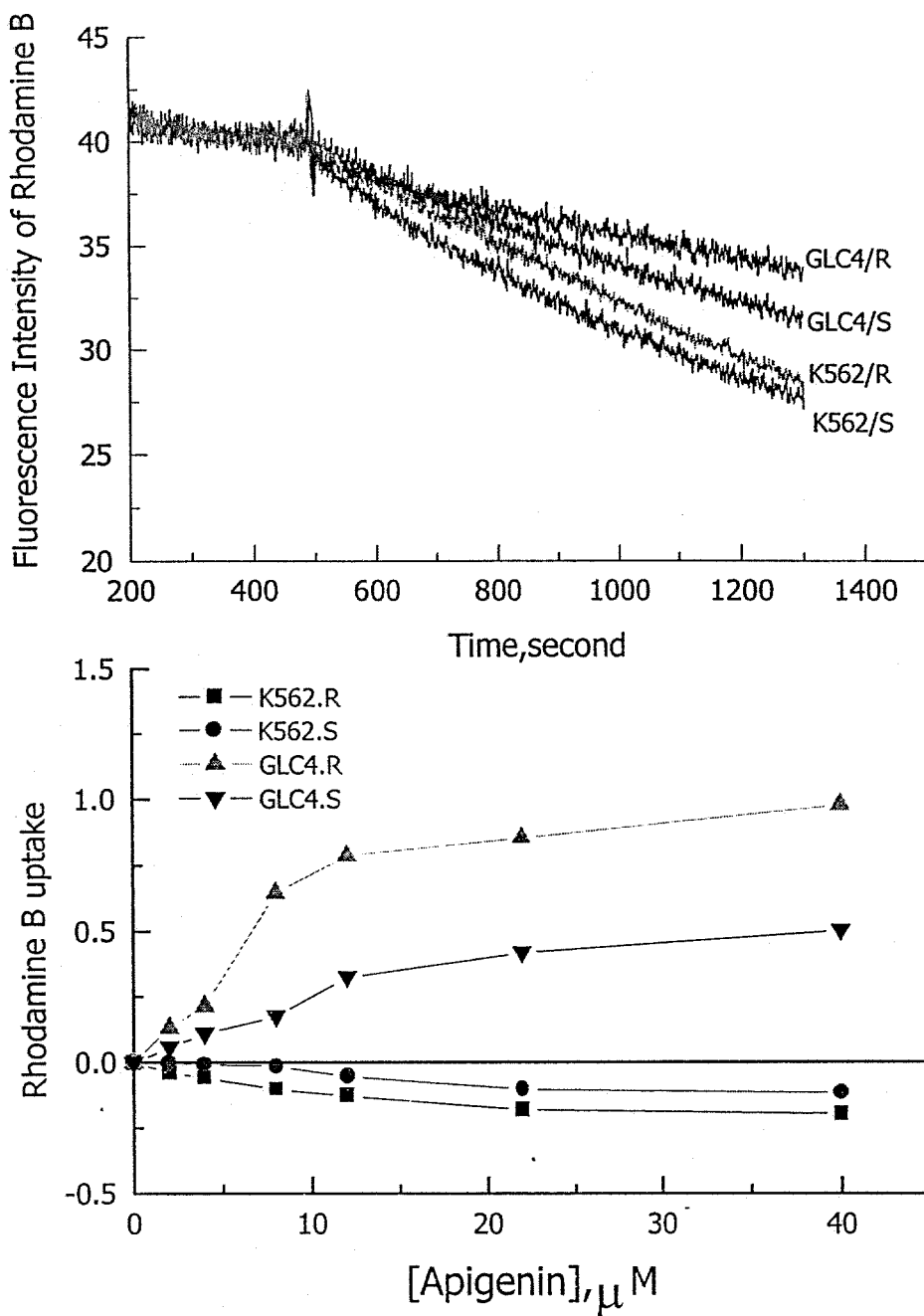
เมื่อทำให้เซลล์อยู่ในสภาวะเครียดมากกว่าเดิมโดยบ่มด้วย BSO ความเข้มข้น 50 μM เป็นเวลา 20–24 ชั่วโมง ซึ่งจะทำให้ glutathione ภายในเซลล์ลดต่ำลง อย่างมีนัยสำคัญ โดย BSO ยับยั้งเอนไซม์ γ -glutamylcysteine synthetase ที่ใช้ในการสร้าง glutathione และนำเซลล์ที่บ่มด้วย BSO มาบ่มต่อด้วย H_2O_2 100 μM เป็นเวลา 2 ชั่วโมง และเมื่อตรวจสอบการมีชีวิตของเซลล์ด้วย trypan blue มีการตายของเซลล์คิดเป็นร้อยละ 6, 5, 96, 86 ในเซลล์มะเร็ง K562/S, K562/ADR, GLC4/S, GLC4/ADR ตามลำดับ ซึ่งสัมพันธ์กับสเปกตรัมการซึมผ่านของสัญญาณ rhodamine B (รูปที่ 12ก) เซลล์มะเร็ง GLC4 มีภาวะ oxidative stress มากกว่าเซลล์มะเร็ง K562 เนื่องจากความเร็วซึมผ่านของสัญญาณ rhodamine B ในเซลล์มะเร็ง GLC4

น้อยกว่าในเซลล์มะเร็ง K562 อย่างมีนัยสำคัญ โมเลกุล apigenin (40 μM) สามารถกำจัด ROS และเพิ่มความต่างศักย์ไมโทคอนเดรียได้เฉพาะในเซลล์มะเร็ง GLC4 โดยมีความเร็วการซึมผ่านของสัญญาณ rhodamine B เพิ่มขึ้น 1.32, 4.77 เท่า และมีความสัมพันธ์โดยตรงกับจำนวนการตายของเซลล์ที่ลดลงคิดเป็นร้อยละ 12, 10 ในเซลล์มะเร็ง GLC4/S, GLC4/ADR ตามลำดับ (รูปที่ 12ข) และ (รูปที่ 13) ส่วนในเซลล์มะเร็ง K562 พบว่าเซลล์สามารถทนต่อภาวะ oxidative stress ได้ดีกว่าเซลล์มะเร็ง GLC4 และโมเลกุล apigenin ไม่เปลี่ยนแปลงความต่างศักย์ไมโทคอนเดรีย

ในภาวะที่เหนียวนำไปให้เซลล์เกิด oxidative stress และติดตามการเปลี่ยนแปลงความต่างศักย์เมมเบรนของไมโทคอนเดรีย พบว่าเซลล์มะเร็ง K562 สามารถทนต่อภาวะ oxidative stress ได้ดีกว่าเซลล์มะเร็ง GLC4 อาจเนื่องมาจาก การทำงานของ MRP protein ซึ่งต้องการ glutathione นอกจากนี้ยังขึ้นกับคุณสมบัติจำเพาะของเซลล์แต่ละชนิด ซึ่งมีเอนไซม์ที่เป็น antioxidant แตกต่างกัน H_2O_2 มีคุณสมบัติเป็น oxidizing agent อย่างอ่อน ทำให้เกิด oxidation ของเอนไซม์ glyceraldehyde-3-phosphate dehydrogenase ทำให้ ATP ภายในเซลล์ลดต่ำลง ไม่เพียงพอที่จะเปลี่ยน GSSG (oxidized form) ให้เป็น GSH (reduced form) จึงมีผลให้มีการสะสม ROS เพิ่มมากขึ้นในไมโทคอนเดรีย ทำให้ความต่างศักย์เมมเบรนของไมโทคอนเดรียลดลง และโมเลกุล apigenin มีประสิทธิภาพในการกำจัด ROS ที่ไมโทคอนเดรียในเซลล์ GLC4

โดยทำให้เซลล์ที่อยู่ในสภาวะเครียด กลับสู่สภาพที่มีความต่างศักย์เมมเบรนของไมโทคอนเดรีย

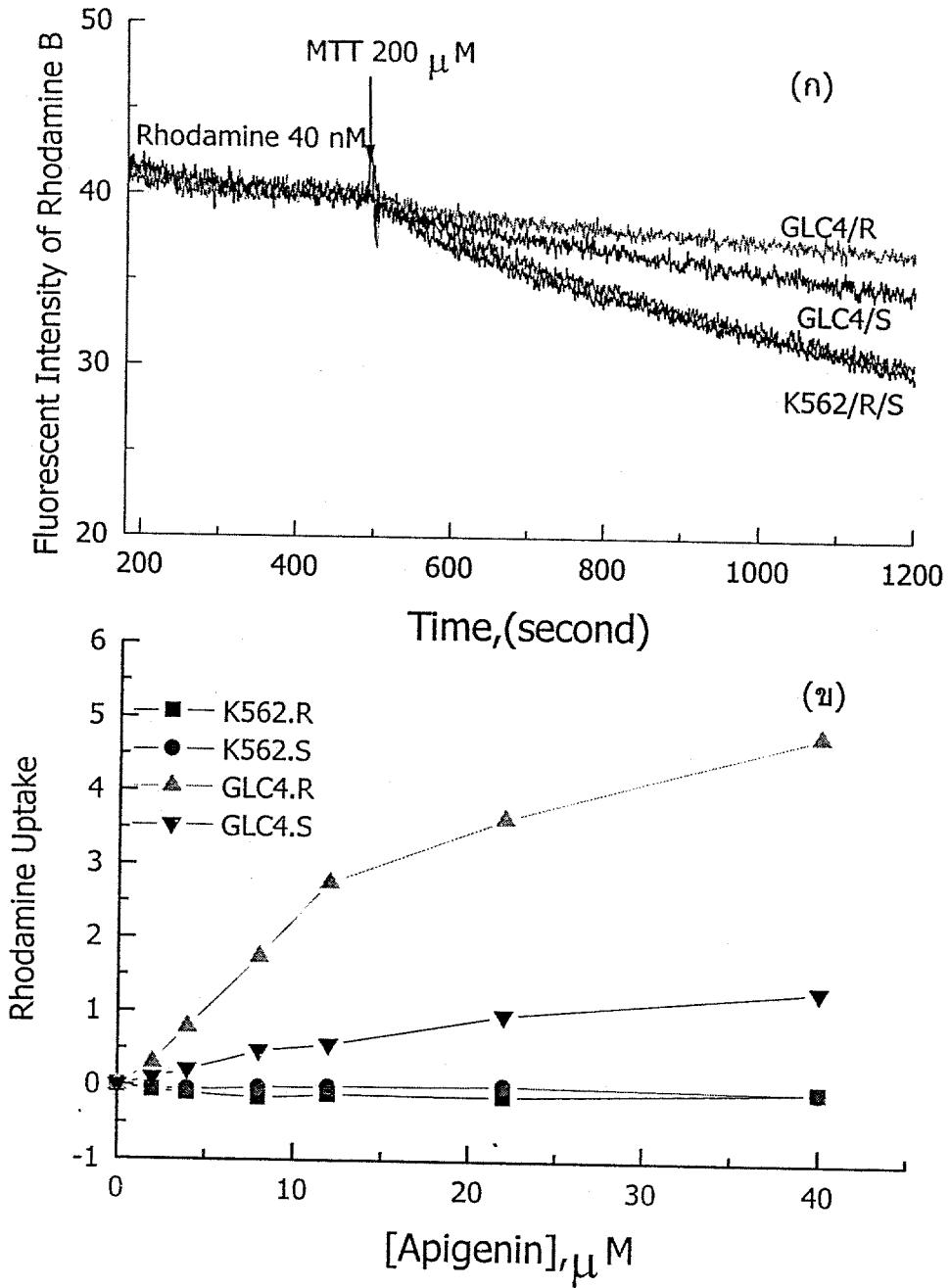
เพิ่มขึ้น



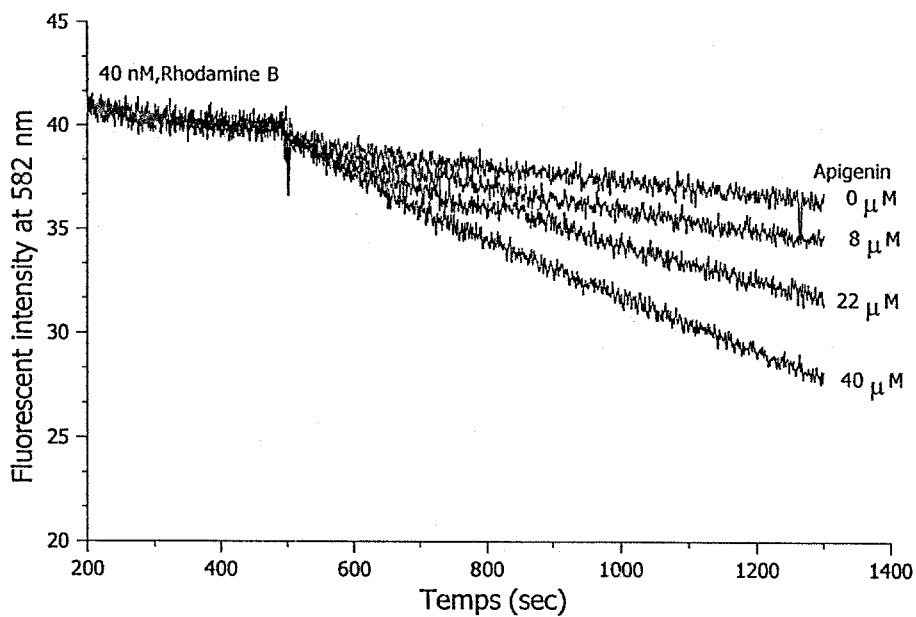
รูปที่ 11 การซึมผ่านของสัญญาณ RHODAMINE B ในเซลล์ที่ป่มด้วย H_2O_2 $100 \mu\text{M}$ เป็น

เวลา 2 ชั่วโมง สเปกตรัมแสดงข้อมูลเชิงคุณภาพของสัญญาณ RHODAMINE B (ก)

ประสิทธิภาพของโมเลกุล APIGENIN ต่อการกำจัด ROS ที่ไมโทคอนเดรีย (ข)



รูปที่ 12 การซึมผ่านของสัญญาณ RHODAMINE B ในเซลล์ที่บ่มด้วย BSO 50 μM เป็นเวลา 20 – 24 ชั่วโมง และบ่มต่อด้วย H_2O_2 100 μM เป็นเวลา 2 ชั่วโมง สเปกตรัมแสดงข้อมูลเชิงคุณภาพของสัญญาณ RHODAMINE B (ก) ประสิทธิภาพของโมเลกุล APIGENIN ต่อการกำจัด ROS ที่ไมโทคอนเดรีย (ข)



รูปที่ 13 สเปคตรัมแสดงประสิทธิภาพของโมเลกุล apigenin ต่อการเปลี่ยนแปลงการ

ซึมผ่านของสัญญาณ rhodamine B ในเซลล์มะเร็ง GLC4/ADR โดยบ่มด้วย BSO 50 μM เป็น

เวลา 20–24 ชั่วโมง และบ่มต่อด้วย H₂O₂ 100 μM เป็นเวลา 2 ชั่วโมง

บทที่ 4 สรุปผลการทดลอง

สารสกัดในกลุ่ม polyphenol จากเนื้อไม้มะเเฒ่ามีฤทธิ์ต้านมะเร็งเม็ดเลือด K562 และ

มะเร็งปอด GLC4 ทั้งในชนิดที่ดื้อยาและไวต่อยา และสามารถกำจัด ROS ที่มากเกินไปในไมโต

คอนเดรียได้โดยทำให้ความต่างศักย์เมมเบรนของไมโตคอนเดรียเพิ่มขึ้น สัมพันธ์กับจำนวน

เซลล์ตายที่ลดลง เซลล์มะเร็ง K562 และ GLC4 มีความไวต่อภาวะ oxidative stress ไม่เท่ากัน

เซลล์มะเร็ง K562 ทนต่อภาวะ oxidative stress ได้ดีกว่า เซลล์มะเร็ง GLC4 และโมเลกุล

apigenin สามารถกำจัด ROS ในเซลล์มะเร็ง GLC4 ได้ดีกว่า เซลล์มะเร็ง K562 นอกจากนี้ยัง

พบว่า โมเลกุล polyphenol ที่ศึกษามีศักยภาพในการเพิ่มพิษของยารักษามะเร็ง

โมเลกุลที่สกัดได้จากเนื้อไม้มะเเฒ่ามีศักยภาพสูงมากที่ควรจะได้รับการพัฒนาเพื่อ

ประยุกต์ใช้เป็นยาด้านมะเร็งหรือในอุตสาหกรรมอาหาร

เอกสารอ้างอิง

- Guz NR, Stermitz FR, Johnson JB, Beeson TD, Willen S, Hsiang JF and Lewis K, (2001) Flavonolignan and flavone inhibitors of a *Staphylococcus aureus* multidrug resistance pump: Structure-Activity relationship, J. Med. Chem., 44, 261-268.
- Taylor WC, and Attaur R, (1994) Constituents of some Asian medicinal plants, Pure and Applied chemistry, 66, 2375-2378.
- Lichius JJ, Odile T, Alain M, Mary P, Françoise GV, and Thierry S, (1994) Antimitotic and cytotoxic flavonols from *Zieridium pseudobtusifolium* and *Acronychia porteri*, natural Products, 57, 1012-1016.
- Orjala J, Anthrony D, Wright HB, Gero F, Oho S, heinz R and Topul R, (1994) Cytotoxic and antibacterial dihydrochalcones from piper aduncum, Natural products, 57, 18-26.
- Solis PN, Ravelo AG, Gonzalez AG, Gupta MP, Phillipson JD, (1995) Bioactive anthraquinone glycolysides from *Picramia antidesma* spp. Fessonia, Phytochemistry, 38, 477-480.

6. Miranda CL, Stevens JF, Helmrich A, Henderson MC, Rodriguez RJ, Yang YH, Barmes DW, and Buhler DR, (1999) Antiproliferative and cytotoxic effects of prenylated flavonoids from hops (*Humulus lupulus*) in human cancer cell lines, *Food Chem. Tox.* 37, 271-285.
7. Peterson G and Barnes S, (1993) Genistein and Biochanin A inhibit the growth of human prostate cancer cell but not epidermal growth factor receptor Tyrosine autophosphorylation, *prostate*, 22, 335-345.
8. Musey PI, Adlercreutz H, Gould KG, Collins DC, Fotsis T, Bannwart C, Makela T, Wahala K, Brunow G, Hase T.(1995) Effect of diet on lignans and isoflavonoid phytoestrogens in chimpanzees. *Life Sci*, 57, 655-664.
9. Hutchins AM, Lampe JW, Martini MC, Campbell DR, Slavin JL. (1995) Vegetables, fruits, and legumes: effect on urinary isoflavonoid phytoestrogen and lignan excretion. *J Am Diet Assoc*, 95, 769-774.
10. Markaverich B, Mani S, Alejandro MA, Mitchell A, Markaverich D, Brown T, Velez-Trippe C, Murchison C, O'Malley B, Faith R. (2002) A novel endocrine-disrupting agent in corn with mitogenic activity in human breast and prostatic cancer cells. *Environ Health Perspect.*, 110, 169-177.

11. Whitten PL, Patisaul HB, Young LJ. (2002) Neurobehavioral actions of coumestrol and related isoflavonoids in rodents. *Neurotoxicol Teratol*, 24, 47-54.
12. Ferguson SA, Flynn KM, Delclos KB, Newbold RR, Gough BJ. (2002) Effects of lifelong dietary exposure to genistein or nonylphenol on amphetamine-stimulated striatal dopamine release in male and female rats. *Neurotoxicol Teratol*, 24, 37-45.
13. Lephart ED, West TW, Weber KS, Rhees RW, Setchell KD, Adlercreutz H, Lund TD. (2002) Neurobehavioral effects of dietary soy phytoestrogens. *Neurotoxicol Teratol*, 24, 5-16.
14. Lamartiniere CA, Wang J, Smith-Johnson M, Eltoum IE. (2002) Daidzein: bioavailability, potential for reproductive toxicity, and breast cancer chemoprevention in female rats. *Toxicol Sci*, 65, 228-238.
15. Bobrowska-Hagerstrand M, Wrobel A, Rychlik B, Bartosz G, Soderstrom T, Shirataki Y, Motohashi N, Molnar J, Michalak K, Hagerstrand H. (2001) Monitoring of MRP-like activity in human erythrocytes: inhibitory effect of isoflavones. *Blood Cells Mol Dis*, 27, 894-900.
16. Tsimberidou AM, Paterakis G, Androutsos G, Anagnostopoulos N, Galanopoulos A, Kalmantis T, Meletis J, Rombos Y, Sagriotis A, Symeonidis A, Tiniakou M, Zoumbos

- N, Yataganas X. (2002) Evaluation of the clinical relevance of the expression and function of P-glycoprotein, multidrug resistance protein and lung resistance protein in patients with primary acute myelogenous leukemia, *Leuk Res*, 26, 143-154.
17. Podgorski I, Bull AW. (2001) Energy-dependent export of the 13-oxooctadecadienoic acid-glutathione conjugate from HT-29 cells and plasma membrane vesicles. *Biochim Biophys Acta*, 1533, 55-65.
18. Tamai I, Yamashita J, Kido Y, Ohnari A, Sai Y, Shima Y, Naruhashi K, Koizumi S, Tsuji A. (2000) Limited distribution of new quinolone antibacterial agents into brain caused by multiple efflux transporters at the blood-brain barrier, *J Pharmacol Exp Ther*, 295, 146-152.
19. Declèves X, Regina A, Laplanche JL, Roux F, Boval B, Launay JM, Scherrmann JM. (2000) Functional expression of P-glycoprotein and multidrug resistance-associated protein (Mrp1) in primary cultures of rat astrocytes, *J Neurosci Res.*, 60, 594-601.
20. den Boer ML, Pieters R, Kazemier KM, Janka-Schaub GE, Henze G, Veerman AJ. (1998) The modulating effect of PSC 833, cyclosporin A, verapamil and genistein on

- in vitro cytotoxicity and intracellular content of daunorubicin in childhood acute lymphoblastic leukemia, *Leukemia*, 12, 912-920.
21. Simon PN, Chaboud A, Darbour N, Di Pietro A, Dumontet C, Lurel F, Raynaud J, Barron D. (2001) Modulation of cancer cell multidrug resistance by an extract of *Ficus citrifolia*. *Anticancer Res.*, 21, 1023-1027.
22. Comte G, Daskiewicz JB, Bayet C, Conseil G, Viornery-Vanier A, Dumontet C, Di Pietro A, Barron D. (2001) C-Isoprenylation of flavonoids enhances binding affinity toward P-glycoprotein and modulation of cancer cell chemoresistance. : *J Med.*, 44, 763-768.
23. Ahmad I, Beg AZ. (2001) Antimicrobial and phytochemical studies on 45 Indian medicinal plants against multi-drug resistant human pathogens, *J Ethnopharmacol*, 74, 113-123.
24. De Vincenzo R, Ferlini C, Distefano M, Gaggini C, Riva A, Bombardelli E, Morazzoni P, Valenti P, Belluti F, Ranelletti FO, Mancuso S, Scambia G. (2000) In vitro evaluation of newly developed chalcone analogues in human cancer cells, *Cancer Chemother Pharmacol*, 46, 305-312.

25. Walgren RA, Karnaky KJ Jr, Lindenmayer GE, Walle T. (2000) Efflux of dietary flavonoid quercetin 4'-beta-glucoside across human intestinal Caco-2 cell monolayers by apical multidrug resistance-associated protein-2, *J Pharmacol Exp Ther.*, 294, 830-836.
26. Sadzuka Y, Sugiyama T, Sonobe T., (2000) Efficacies of tea components on doxorubicin induced antitumor activity and reversal of multidrug resistance, *Toxicol Lett.* 114, 155-162.
27. Maitrejean M, Comte G, Barron D, El Kirat K, Conseil G, Di Pietro A. (2000) The flavanolignan silybin and its hemisynthetic derivatives, a novel series of potential modulators of P-glycoprotein, *Bioorg Med Chem Lett*, 10, 157-160.
28. Mitrocotsa D, Bosch S, Mitaku S, Dimas C, Skaltsounis AL, Harvala C, Briand G, Roussakis C. (1999) Cytotoxicity against human leukemic cell lines, and the activity on the expression of resistance genes of flavonoids from *Platanus orientalis*, *Anticancer Res.*, 19, 2085-2088.
29. Perez-Victoria JM, Chiquero MJ, Conseil G, Dayan G, Di Pietro A, Barron D, Castanys S, Gamarro F. (1999) Correlation between the affinity of flavonoids binding

to the cytosolic site of *Leishmania tropica* multidrug transporter and their efficiency to revert parasite resistance to daunomycin, *Biochemistry*, 38, 1736-1743.

30. Bois F, Beney C, Boumendjel A, Mariotte AM, Conseil G, Di Pietro A. (1998)

Halogenated chalcones with high-affinity binding to P-glycoprotein: potential modulators of multidrug resistance, *J Med Chem.*, 41, 4161-4164.

31. Stermitz FR, Lorenz P, Tawara JN, Zenewicz LA, Lewis K., (2000) Synergy in a

medical plant: Antimicrobial action of berberine potentiated by 5'-methoxyhydrnocarpin, a multidrug pump inhibitor, *PNAS*, 97, 1433-1437.